

Optymalizacja w systemach sterowania-materiały pomocnicze do laboratorium

dr hab. inż. Piotr Bania, pba@agh.edu.pl, B1, p. 303

18 maja 2021

Układ równań

$$\dot{x} = f(t, x, u), x(0) = x_0, \quad (1)$$

gdzie $x(t) \in \mathbb{R}^n$, oraz u jest ustalonym wektorem, rozwiązujemy metodą Rungego-Kutty czwartego rzędu. Algorytm metody ma postać

$$x_{k+1} = x_k + \frac{h}{6}(k_1 + 2k_2 + 2k_3 + k_4), \quad (2)$$

$$k_1 = f(t_k, x_k, u), \quad (3)$$

$$k_2 = f(t_k + \frac{1}{2}h, x_k + \frac{1}{2}hk_1, u), \quad (4)$$

$$k_3 = f(t_k + \frac{1}{2}h, x_k + \frac{1}{2}hk_2, u), \quad (5)$$

$$k_4 = f(t_k + h, x_k + hk_3, u). \quad (6)$$

Implementacja RK4 w Matlab

```
function [t,x]=rk4(x0,u,tf,MDNS)
x0=x0(:);u=u(:);n=length(x0);
nt=1+floor(tf*MDNS);h=tf/nt;
x=zeros(nt+1,n);t=zeros(nt+1,1);
x(1,:)=x0';
tmp=zeros(n,1);xtmp=x0;tt=0;
dx1=zeros(n,1);dx2=zeros(n,1);
dx3=zeros(n,1);dx4=zeros(n,1);
h_2=h/2;h_6=h/6;h_26=2*h_6;
for i=1:nt
    dx1=rhs(tt,xtmp,u);tmp=xtmp+h_2*dx1;tt=tt+h_2;
    dx2=rhs(tt,tmp,u);tmp=xtmp+h_2*dx2;
    dx3=rhs(tt,tmp,u);tmp=xtmp+h_2*dx3;tt=tt+h_2;
    dx4=rhs(tt,tmp,u);
    xtmp=xtmp+h_6*(dx1+dx4)+h_26*(dx2+dx3);
    x(i+1,:)=xtmp';t(i+1)=tt;
end
```

Right hand side example

Wahadło matematyczne z silnikiem DC, można opisać równaniami

$$\ddot{x} + 2\xi\omega_0\dot{x} + \omega_0^2 \sin x = kz, \dot{z} = \tau^{-1}(u - z). \quad (7)$$

Są one równoważne układowi równań ($x_1 = x, x_2 = \dot{x}, x_3 = z$),

$$\dot{x}_1 = x_2, \quad (8)$$

$$\dot{x}_2 = -\omega_0^2 \sin x_1 - 2\xi\omega_0 x_2 + kx_3, \quad (9)$$

$$\dot{x}_3 = \frac{u - x_3}{\tau}. \quad (10)$$

Przykładową implementację prawej strony równań (8-10), pokazano poniżej.

```
function dx=rhs(t,x,u)
dx=zeros(3,1);w0=9;ksi=0.01;tau=0.04;k=250;
dx(1)=x(2);
dx(2)=-w0^2*sin(x(1))-2*ksi*w0*x(2)+k*x(3);
dx(3)=(u-x(3))/tau;
```

Całkowanie równań stanu na przedziałach stałości sterowania

Dany jest wektor czasów przełączeń sterowania

$$\tau = [0, \tau_1, \tau_2, \dots, \tau_m], \quad (11)$$

oraz wektor lub macierz,

$$u = [u_1, \dots, u_m], \quad (12)$$

wartości przyjmowanych przez sterowanie w przedziale czasu $[\tau_{k-1}, \tau_k)$, $k = 1, \dots, m$, tj. $u(t) = u_k$, gdy $t \in [\tau_{k-1}, \tau_k)$.

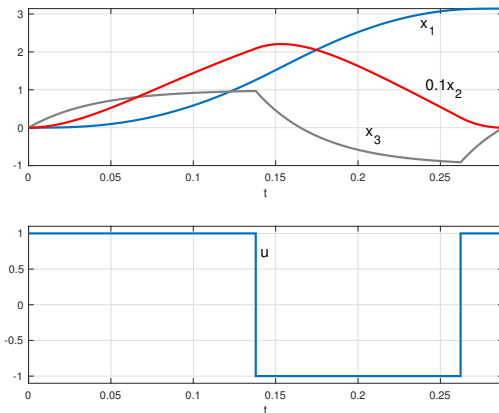
Zakładamy, że sterowanie u jest funkcją prawostronnie ciągłą dla $t < \tau_m$ oraz lewostronnie ciągłą w punkcie $t = \tau_m$. Należy napisać procedurę całkowania równań (1).

Procedura całkowania na przedziałach stałości sterowania.

```
function [t,x,uk,nseg]=get_tx(tau,u,x0,MDNS)
[ntau,nu]=size(u);n=length(x0);tau=[0;tau];
nt=1+sum(1+floor(MDNS*diff(tau)));
x=zeros(nt,n);
uk=zeros(nt,nu);
t=zeros(nt,1);nseg=zeros(ntau,1);kk=1;
for k=1:ntau
    [ttmp,xtmp]=rk4(x0,u(k,:)',tau(k+1)-tau(k),MDNS);% RK4
    x0=xtmp(end,:)';%warunek początkowy do następnego
    ni=1+floor(MDNS*(tau(k+1)-tau(k)));%liczba kroków
    x(kk:kk+ni-1,:)=xtmp(1:end-1,:);%zapis x
    t(kk:kk+ni-1)=tau(k)+ttmp(1:end-1,:);%zapis t
    uk(kk:kk+ni-1,:)=kron(u(k,:),ones(ni,1));%zapis uk
    kk=kk+ni;nseg(k)=kk;
end
x(end,:)=xtmp(end,:);% dodaje stan końcowy
uk(end,:)=u(end,:);% dodaje sterowanie na końcu
t(end)=tau(end);%dodaje czas końcowy
% t-wektor czasów [0, t1, ..., tn],
```

Powyższa procedura zwraca wektor czasów $t = [t_0, \dots, t_{n_t}] \in \mathbb{R}^{n_t}$,
macierz x wymiaru $n_t \times n$, macierz uk , wymiaru $n_t \times n_u$,
zawierającą wartości sterowania w chwilach t_k oraz wektor
 $nseg \in \mathbb{R}^m$, zawierający indeksy czasów przełączeń sterowania tj.
 $t(nseg(j)) = \tau_j$.

Przykład całkowania równań (8-10)



Rysunek: Rozwiązanie równań (8-10), uzyskane za pomocą powyższego algorytmu oraz sterowanie (u dołu). Dla lepszej czytelności, x_2 podzielono przez 10.

Funkcja celu dla zadań sterowania docelowego i czasooptymalnego

Dla zadań sterowania docelowego lub czasooptymalnego, funkcja celu ma postać

$$J(u, T) = T + \frac{1}{2}(x(T) - x_f)^T W(x(T) - x_f), \quad (13)$$

gdzie x_f , jest pożądanym stanem docelowym. Macierz $W = W^T \geq 0$, jest macierzą wag w postaci

$$W = \rho \begin{bmatrix} w_1 & 0 & \cdots & 0 \\ 0 & w_2 & \cdots & 0 \\ 0 & 0 & \ddots & \vdots \\ 0 & 0 & \cdots & w_n \end{bmatrix}, \quad (14)$$

gdzie $\rho > 0$, jest dostatecznie dużym współczynnikiem kary. Jeżeli zmienna x_i , nie jest brana pod uwagę, to przyjmujemy $w_i = 0$.

Implementacja funkcji celu

```
function [q,g]=cost_fun(tau,u,x0,xf,W,MDNS)
% xf - stan docelowy, W=W^T>0 - macierz wag
%calkowanie rownania stanu
[~,x]=get_tx(tau,u,x0,MDNS);
% roznica pomiedzy stanem koncowym i docelowym
dxend=x(end,:)'-xf;
% funkcja celu
q=tau(end)+0.5*dxend'*W*dxend;
if nargin>1
    %opcjonalne obliczenie gradientu
    g=get_grad(tau,u,x0,xf,W,MDNS);
end
```

Równania sprzężone

Dla systemu

$$\dot{x} = f(t, x, u), t \in [0, T], x(0) = x_0, \quad (15)$$

oraz kosztu $J(u, T) = q(T, x(T))$, równania sprzężone mają postać

$$\dot{\psi} = -A(t, x(t), u(t))^T \psi, \psi(T) = -\nabla_x q(T, x(T)), \quad (16)$$

gdzie elementy macierzy A , dane są równością

$$A_{ij}(t, x(t), u(t)) = \frac{\partial f_i(t, x(t), u(t))}{\partial x_j}. \quad (17)$$

Równanie sprzężone należy rozwiązywać wstecz w czasie. Rozwiązanie równania różniczkowego w czasie odwróconym, oznacza rozwiązywanie w przód równania z prawą stroną pomnożoną przez -1 , tj.

$$\dot{\xi} = A(T-t, x(T-t), u(T-t))^T \xi, \xi(0) = -\nabla_x q(T, x(T)). \quad (18)$$

Dla równań (8-10), mamy

$$\dot{\psi}_1 = \omega_0^2 \cos(x_1) \psi_2, \quad (19)$$

$$\dot{\psi}_2 = -\psi_1 + 2\xi\omega_0\psi_2, \quad (20)$$

$$\dot{\psi}_3 = -k\psi_2 + \frac{1}{\tau}\psi_3. \quad (21)$$

Jeżeli funkcja kosztu jest dana wzorem (13), to warunek końcowy ma postać

$$\psi(T) = -W(x(T) - x_f). \quad (22)$$

Prawa strona równań sprzężonych-implementacja

```
function dp=prhs(t,x,u,p)
%Adjoint equations
dp=zeros(3,1);
w0=9;ksi=0.01;tau=0.04;k=250;
dp(1)=w0^2*cos(x(1))*p(2);
dp(2)=-p(1)+2*ksi*w0*p(2);
dp(3)=-k*p(2)+p(3)/tau;
```

Do całkowania równań sprzężonych wykorzystujemy odpowiednio zmodyfikowaną metodę RK4, przy czym wartości rozwiązania równania stanu w punktach $t_k + \frac{1}{2}h$, obliczamy ze wzoru

$$x(t_k + \frac{1}{2}h) \approx \frac{1}{2}(x_k + x_{k+1}). \quad (23)$$

Wartości $x(t_k + \frac{1}{2}h)$, oznaczono w poniższym kodzie przez x05. Kod wykorzystuje, obliczone wcześniej przez funkcję *get_tx*, czasy t_k , wartości sterowań $u(t_k)$ oraz trajektorię $x(t_k)$.

Całkowanie równań sprzężonych - implementacja

```
function p=rk4p(pf,t,x,uk)
nt=length(t);np=length(pf);x=flipud(x);uk=flipud(uk);
t=t(end)-t;t=flipud(t);p=zeros(nt,np);p(1,:)=pf';
tmp=zeros(np,1);ptmp=pf;tt=0;
dp1=zeros(np,1);dp2=zeros(np,1);
dp3=zeros(np,1);dp4=zeros(np,1);
for k=1:nt-1
    h=t(k+1)-t(k);h_2=h/2;h_6=h/6;h_26=2*h_6;
    dp1=-prhs(tt,x(k,:) ',uk(k+1,:) ',ptmp);
    tmp=ptmp+h_2*dp1;tt=tt+h_2;
    x05=0.5*(x(k,:)+x(k+1,:))';
    dp2=-prhs(tt,x05,uk(k+1,:) ',tmp);tmp=ptmp+h_2*dp2;
    dp3=-prhs(tt,x05,uk(k+1,:) ',tmp);tmp=ptmp+h*dp3;tt=tt+h_2;
    dp4=-prhs(tt,x(k+1,:) ',uk(k+1,:) ',tmp);
    ptmp=ptmp+h_6*(dp1+dp4)+h_26*(dp2+dp3);
    p(k+1,:)=ptmp';
end
p=flipud(p);
```

Pochodne funkcji kosztu

Przyrost funkcji kosztu, spowodowany zmianą sterowania u , o Δu , wynosi

$$\Delta J = - \int_0^T \phi(t) \Delta u(t) dt, \quad (24)$$

gdzie funkcja

$$\phi(t) = \nabla_u H(t, \psi(t), x(t), u(t)), \quad (25)$$

jest nazwana funkcją przełączającą oraz

$$H(t, \psi, x, u) = \psi^T f(t, x, u), \quad (26)$$

jest Hamiltonianem. Sterowanie optymalne maksymalizuje, w każdej chwili czasu, funkcję H , tj.

$$u^*(t) = \operatorname{argmax}_{u \in [u_{\min}, u_{\max}]} H(t, \psi(t), x(t), u).$$

Jeżeli u jest funkcją przedziałami stałą, scharakteryzowaną przez czasy przełączeń (11) oraz wartości na przedziałach stałości (12), to ze wzorów (24-26) oraz (13-18) wynika, że

$$\frac{\partial J}{\partial \tau_i} = \phi(\tau_i)(u(\tau_i^+) - u(\tau_i^-)), i = 1, 2, \dots, m-1, \quad (27)$$

$$\frac{\partial J}{\partial u_i} = - \int_{\tau_{i-1}}^{\tau_i} \phi(t) dt, i = 1, 2, \dots, m, \quad (28)$$

$$\frac{\partial J}{\partial T} = 1 - H(T, \psi(T), x(T), u(T^-)), \quad (29)$$

przy czym $u(\tau_i^-)$, $u(\tau_i^+)$, oznaczają lewą i prawą granicę sterowania w punkcie $t = \tau_i$.

Gradient funkcji kosztu-implementacja

Jeżeli optymalizacja dotyczy tylko czasów przełączeń, to gradient dany wzorami (27) i (29) można obliczyć za pomocą poniższej funkcji.

```
function g=get_grad(tau,u,x0,xf,W,MDNS)
%solve state equation, forward
[t,x,uk,nseg]=get_tx(tau,u,x0,MDNS);
%final cond. psi
pf=-W*(x(end,:)'-xf);
%solve adjoint equation, backward
p=rk4p(pf,t,x,uk);
ng=length(tau);g=zeros(ng,1);
for k=1:ng-1
    hu=get_hu(tau(k),p(nseg(k),:)',x(nseg(k),:)',u(k+1,:))';
    %derrivative w.r.t. switching time
    g(k)=hu*(u(k+1)-u(k));
end
%derrivative w.r.t final time
g(end)=1-pf'*rhs(tau(end),x(end,:)',u(end,:))';
```

Funkcja przełączająca-implementacja

Dla równań (8-10), mamy

$$H(\psi, x, u) = \psi_1 x_2 + \psi_2 (-\omega_0^2 \sin(x_1) - 2\xi\omega_0 x_2 + kx_3) + \psi_3 \tau^{-1}(u - x_3)$$

oraz

$$\phi = H_u = \frac{\psi_3}{\tau}.$$

Ponieważ H zależy liniowo od sterowania, to maksimum H względem u , osiągnięte jest na ograniczeniach. A zatem sterowanie jest typu *bang-bang* i w każdej chwili czasu przyjmuje jedną z wartości u_{min} , albo u_{max} .

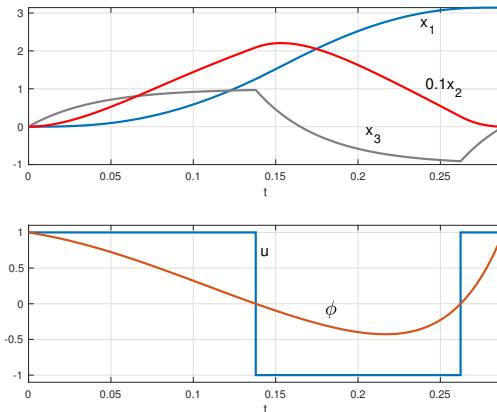
```
function hu=get_hu(t,p,x,u)
%funkcja przelaczajaca,
%pochodna hamiltonianu wzgledem sterowania
tau=0.04;hu=p(3)/tau;
```

Celem sterowania jest przeprowadzenie systemu (8-10), ze stanu początkowego $x_0 = [0, 0, 0]^T$, do stanu docelowego $x_f = [\pi, 0, 0]^T$. Zadanie rozwiązujemy poprzez minimalizację kosztu (13). Do minimalizacji funkcji kosztu wykorzystano funkcję *fmincon* Matlaba. Przy poszukiwaniu minimum należy uwzględnić ograniczenia $0 \leq \tau_1 \leq \tau_2, \dots, \leq \tau_m = T$. Ograniczenia te są liniowe i można je zapisać w postaci $A\tau \leq b$. Poniższy kod umożliwia, zwykle po wielu nieudanych próbach, znalezienie rozwiązania optymalnego w klasie sterowań *bang-bang*.

Przykład

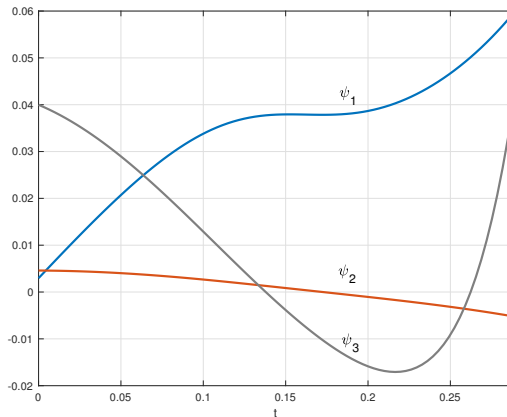
```
clear;close all;tauopt=[.15 .30 .40]';u=1.0*[1;-1;1];
x0=[0;0;0];xf=[pi;0;0];W=1000*eye(3);MDNS=300;
qh=@(tauopt) cost_fun(tauopt,u,x0,xf,W,MDNS);
nb=length(tauopt);b=0.0*ones(nb,1);A=-eye(nb);
for k=2:nb, A(k,k-1)=1;end %ograniczenia
options=optimoptions('fmincon');
options.SpecifyObjectiveGradient=true;
options.Display='iter';options.Algorithm='interior-point';
tauopt=fmincon(qh,tauopt,A,b,[],[],[],[],[],options);
[t,x,uk,nseg]=get_tx(tauopt,u,x0,MDNS);pf=-W*(x(end,:)'-xf);
p=rk4p(pf,t,x,uk);nt=length(t);hu=zeros(nt,1);
for k=1:nt
    hu(k)=get_hu(t(k),p(k,:)',x(k,:)',uk(k,:));
end
hu=hu/max(abs(hu));
subplot(211);h=plot(t,x);set(h,'linewidth',2);
subplot(212);h=stairs(t,uk/max(uk));set(h,'linewidth',2);
hold on;h=plot(t,hu);grid;set(h,'linewidth',2);
axis([0 t(end) -1.1 1.1]);hold off
```

Rozwiązanie optymalne



Rysunek: Trajektoria (u góry), oraz sterowanie i funkcja przełączająca (u dołu), uzyskane za pomocą powyższego algorytmu. Dla lepszej czytelności, x_2 podzielono przez 10. Ponieważ funkcja ϕ , jest dodatnia wszędzie tam, gdzie sterowanie jest maksymalne i ujemna dla minimalnych wartości sterowania, to sterowanie u , jest lokalnie optymalne.

Zmienne sprzężone



Rysunek: Zmienne sprzężone odpowiadające rozwiązaniu optymalnemu.

Sprawdzenie poprawności obliczenia gradientu

Poprawność obliczenia gradientu można sprawdzić, porównując gradient obliczony za pomocą wzorów (27) i (29), z gradientem obliczonym metodą różnic skończonych. Przypomnijmy, że symetryczną aproksymację pochodnej funkcji $g(x_1, \dots, x_n)$, obliczamy ze wzoru

$$\frac{\partial g}{\partial x_i} \approx \frac{g(x_1, \dots, x_i + \epsilon, \dots, x_n) - g(x_1, \dots, x_i - \epsilon, \dots, x_n)}{2\epsilon}, \epsilon > 0.$$

Dokładność wzoru jest rzędu $o(\epsilon^2)$. Stosując tę metodę do funkcji kosztu (13), otrzymamy prosty test poprawności obliczenia gradientu.

Sprawdzenie poprawności obliczenia gradientu względem czasów przełączeń i czasu końcowego - implementacja

```
clear;close all
tau=[.1;.2;0.3];u=1.0*[-1;1;-1];x0=[0;0;0];
xf=[pi;0;0];W=10*eye(3);MDNS=2000;
ep=1e-7;gnum=zeros(length(tau),1);
[~,g]=cost_fun(tau,u,x0,xf,W,MDNS);
for k=1:length(tau)
    ei=zeros(length(tau),1);ei(k)=1;
    taup=tau+ei*ep;taum=tau-ei*ep;
    [fp,~]=cost_fun(taup,u,x0,xf,W,MDNS);
    [fm,~]=cost_fun(taum,u,x0,xf,W,MDNS);
    gnum(k)=(fp-fm)/(2*ep);
end
%porownanie g - r. sprz., gnum - rozn.
[g';gnum']
```

Założmy, że funkcja kosztu ma postać

$$J(u, T) = \int_0^T L(x, u) dt + q(x(T)), \quad (30)$$

gdzie horyzont T , jest ustalony oraz funkcje $L, q \in C^1$. Zakładamy, że sterowanie jest przedziałami stałe

$$u(t) = u_k, t \in [\tau_{k-1}, \tau_k), \tau_0 = 0, k = 1, \dots, m, \quad (31)$$

przy czym chwile czasu τ_k , są ustalone oraz $T = \tau_m$. Zmiennymi decyzyjnymi są liczby u_k .

Hamiltonian i równania sprzężone mają postać

$$H(t, \psi, x, u) = \psi^T f(t, x, u) - L(x, u), \quad (32)$$

$$\dot{\psi} = -A(t, x(t), u(t))^T \psi + L_x(x, u), \psi(T) = -q_x(x(T)). \quad (33)$$

Aby obliczyć całkę, występującą we wzorze (30), definiujemy nową zmienną stanu

$$\dot{x}_{n+1} = L(x, u), x_{n+1}(0) = 0 \quad (34)$$

i dołączamy ją do równań stanu. Aby obliczyć całki, we wzorze (28), dołączamy do równań sprzężonych nową zmienną stanu

$$\dot{\psi}_{n+1} = H_u, \psi_{n+1}(T) = 0. \quad (35)$$

Po rozwiązaniu rozszerzonych równań stanu (w przód) i równań sprzężonych (w tył), wartość funkcji kosztu i pochodne we wzorze (28), obliczamy ze wzorów

$$J(u_1, \dots, u_m) = x_{n+1}(T) + q(x(T)), \quad (36)$$

$$\frac{\partial J(u_1, \dots, u_m)}{\partial u_i} = \psi_{n+1}(\tau_{i-1}) - \psi_{n+1}(\tau_i), i = 1, \dots, m. \quad (37)$$

Zadania nadążania i stabilizacji

W zadaniach nadążania lub stabilizacji, często rozpatruje się kwadratowe funkcje kosztu

$$J(u) = \frac{1}{2} \int_0^T (x(t) - x_{ref}(t))^T Q (x(t) - x_{ref}(t)) + \\ + (u(t) - u_{ref}(t))^T R (u(t) - u_{ref}(t)) dt + \frac{1}{2} (x(T) - x_f)^T W (x(T) - x_f), \quad (38)$$

gdzie x_{ref} , jest trajektorią pożądaną, u_{ref} jest sterowaniem odpowiadającym trajektorii x_{ref} oraz x_f , jest pożądanym stanem docelowym. Macierze Q , R , W , są symetryczne i dodatnio pół-określone. Dla takich zadań, równania sprzężone i funkcja przełączająca mają postać

$$\dot{\psi} = -A^T \psi + Q(x - x_{ref}), \psi(T) = -W(x(T) - x_f). \quad (39)$$

$$\phi = H_u = \nabla_u (\psi^T f(t, x, u)) + R(u - u_{ref}). \quad (40)$$

Jeżeli u jest rozwiązaniem optymalnym, to z warunku maksimum hamiltonianu wynika, że albo

$$\nabla_u(\psi^T f(t, x(t), u(t))) + R(u(t) - u_{ref}(t)) = 0, \quad (41)$$

albo $u(t) = u_{min}$, albo $u(t) = u_{max}$. A zatem, sterowanie optymalne albo spełnia równanie (41), albo leży na górnym bądź dolnym ograniczeniu.

Dla równań (8-10), przyjmujemy funkcję kosztu

$$J(u) = \frac{1}{2} \int_0^T (x_1(t) - \pi)^2 + u(t)^2 dt, \quad (42)$$

warunek początkowy $x_0 = (0, 0, 0)^T$ oraz $T = 1$. Przedział $[0, T]$, dzielimy na $m = 100$, części i szukamy aproksymacji schodkowej u_1, \dots, u_m . Hamiltonian

$$\begin{aligned} H(\psi, x, u) = & \psi_1 x_2 + \psi_2 (-\omega_0^2 \sin(x_1) - 2\xi\omega_0 x_2 + kx_3) + \\ & + \psi_3 \tau^{-1} (u - x_3) - \frac{1}{2} (x_1(t) - \pi)^2 - \frac{1}{2} u(t)^2. \end{aligned} \quad (43)$$

Funkcja przełączająca

$$\phi = \tau^{-1} \psi_3 - u. \quad (44)$$

Rozwiązanie równania (41), *hamiltonian maximizer*, jest dane wzorem

$$u = \tau^{-1} \psi_3. \quad (45)$$

Równania sprzężone, wraz z dodatkową zmienną sprzężoną, mają następującą postać

$$\dot{\psi}_1 = \omega_0^2 \cos(x_1) \psi_2 + x_1(t) - \pi, \quad (46)$$

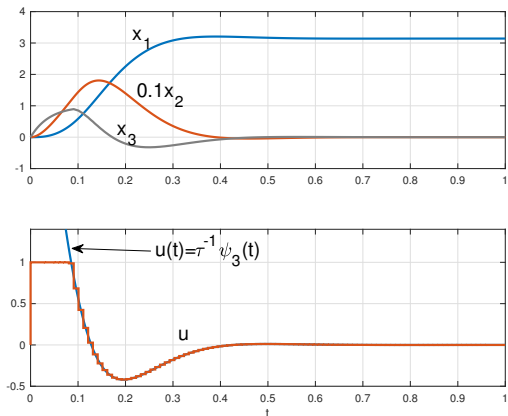
$$\dot{\psi}_2 = -\psi_1 + 2\xi\omega_0\psi_2, \quad (47)$$

$$\dot{\psi}_3 = -k\psi_2 + \frac{1}{\tau}\psi_3, \quad (48)$$

$$\dot{\psi}_4 = \tau^{-1}\psi_3 - u. \quad (49)$$

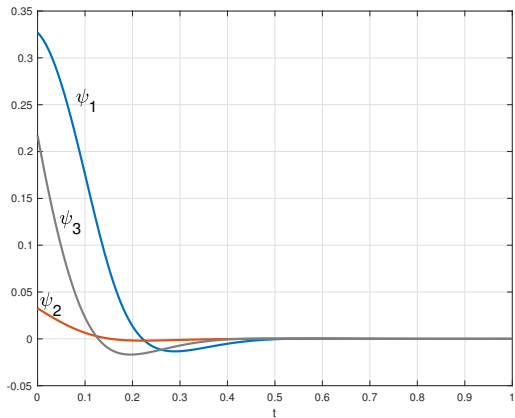
Obliczoną aproksymację schodkową sterowania optymalnego oraz trajektorię stanu i rozwiązanie równań sprzężonych, pokazano na rysunkach poniżej. Kod, za pomocą którego zrealizowano obliczenia, znajduje się poniżej.

Aproksymacja schodkowa rozwiązania optymalnego



Rysunek: Trajektoria (u góry), oraz sterowanie (u dołu). Dla lepszej czytelności, x_2 podzielono przez 10. Na dolnym wykresie pokazano też sterowanie wynikające z równania (45).

Zmienne sprzężone.



Rysunek: Zmienne sprzężone odpowiadające rozwiązaniu z rys. powyżej.

Kod dla aproksymacji schodkowej, prawa strona równań stanu

```
function dx=rhs_s(t,x,u)
dx=zeros(4,1);w0=9;ksi=0.01;tau=0.04;k=250;
dx(1)=x(2);
dx(2)=-w0^2*sin(x(1))-2*ksi*w0*x(2)+k*x(3);
dx(3)=(u-x(3))/tau;
% Additional variable x'=L(x,u).
dx(4)=0.5*((x(1)-pi)^2+u^2);
```

Dodatkowa zmienna stanu do obliczenia funkcji kosztu (30)

$$x_4(t) = \int_0^t L(x(s), u(s)) ds, J(u) = x_4(T) + q(x(T)). \quad (50)$$

Kod dla aproksymacji schodkowej, prawa strona równań sprzężonych

```
function dp=prhs_s(t,x,u,p)
% Adjoint equations
dp=zeros(4,1);
w0=9;ksi=0.01;tau=0.04;k=250;
dp(1)=w0^2*cos(x(1))*p(2)+(x(1)-pi);
dp(2)=-p(1)+2*ksi*w0*p(2);
dp(3)=-k*p(2)+p(3)/tau;
% Additional variable p'=H_u(t)
dp(4)=p(3)/tau-u;
```

Dodatkowa zmienna stanu do obliczenia całek (28)

$$\psi_4(t) = \int_0^t \phi(s) ds, \frac{\partial J}{\partial u_i} = \psi_4(\tau_{i-1}) - \psi_4(\tau_i), i = 1, \dots, m. \quad (51)$$

Kod dla aproksymacji schodkowej, funkcja kosztu

```
function [q,g]=cost_fun_s(u,tau,x0,xf,W,MDNS)
% xf - stan docelowy, W=W^T>0 - macierz wag
%calkowanie rownania stanu
[~,x]=get_tx_s(tau,u,x0,MDNS);
% roznica pomiedzy stanem koncowym i docelowym
dxend=x(end,1:end-1)'-xf;
% funkcja celu
q=x(end,end)+0.5*dxend'*W*dxend;
if nargin>1
    %opcjonalne obliczenie gradientu
    g=get_grad_s(tau,u,x0,xf,W,MDNS);
end
```

Kod dla aproksymacji schodkowej, rozwiązanie równania (41), *hamiltonian maximizer*

```
function u=get_hmax(t,p,x,u)
%Hamiltonian maximizer
%the solution of  $H_u(t, p, x, u)=0$ 
tau=0.04;u=p(:,3)/tau;
```

Kod dla aproksymacji schodkowej, RK4

```
function [t,x]=rk4_s(x0,u,tf,MDNS)
x0=x0(:);u=u(:);n=length(x0);
nt=1+floor(tf*MDNS);h=tf/nt;
x=zeros(nt+1,n);t=zeros(nt+1,1);
x(1,:)=x0';
tmp=zeros(n,1);xtmp=x0;tt=0;
dx1=zeros(n,1);dx2=zeros(n,1);
dx3=zeros(n,1);dx4=zeros(n,1);
h_2=h/2;h_6=h/6;h_26=2*h_6;
for i=1:nt
    dx1=rhs_s(tt,xtmp,u);tmp=xtmp+h_2*dx1;tt=tt+h_2;
    dx2=rhs_s(tt,tmp,u);tmp=xtmp+h_2*dx2;
    dx3=rhs_s(tt,tmp,u);tmp=xtmp+h*dx3;tt=tt+h_2;
    dx4=rhs_s(tt,tmp,u);
    xtmp=xtmp+h_6*(dx1+dx4)+h_26*(dx2+dx3);
    x(i+1,:)=xtmp';t(i+1)=tt;
end
```

Kod dla aproksymacji schodkowej, RK4 na przedziałach

```
function [t,x,uk,nseg]=get_tx_s(tau,u,x0,MDNS)
[ntau,nu]=size(u);n=length(x0);tau=[0;tau];
nt=1+sum(1+floor(MDNS*diff(tau)));
x=zeros(nt,n);uk=zeros(nt,nu);
t=zeros(nt,1);nseg=zeros(ntau,1);kk=1;
for k=1:ntau
    % RK4
    [ttmp,xtmp]=rk4_s(x0,u(k,:) ',tau(k+1)-tau(k),MDNS);
    x0=xtmp(end,:)';%warunek początkowy do następnego
    ni=1+floor(MDNS*(tau(k+1)-tau(k)));%liczba kroków
    x(kk:kk+ni-1,:)=xtmp(1:end-1,:);%zapis x
    t(kk:kk+ni-1)=tau(k)+ttmp(1:end-1,:);%zapis t
    uk(kk:kk+ni-1,:)=kron(u(k,:),ones(ni,1));%zapis uk
    kk=kk+ni;nseg(k)=kk;
end
x(end,:)=xtmp(end,:);% dodaje stan końcowy
uk(end,:)=u(end,:);% dodaje sterowanie na końcu
t(end)=tau(end);%dodaje czas końcowy
% t-wektor czasów [0, t1, ..., tn],
```


Kod dla aproksymacji schodkowej, RK4 dla równań sprzężonych

```
function p=rk4p_s(pf,t,x,uk)
nt=length(t);np=length(pf);x=flipud(x);uk=flipud(uk);
t=t(end)-t;t=flipud(t);p=zeros(nt,np);p(1,:)=pf';
tmp=zeros(np,1);ptmp=pf;tt=0;dp1=zeros(np,1);dp2=zeros(np,1);
dp3=zeros(np,1);dp4=zeros(np,1);
for k=1:nt-1
    h=t(k+1)-t(k);h_2=h/2;h_6=h/6;h_26=2*h_6;
    dp1=-prhs_s(tt,x(k,:) ',uk(k+1,:) ',ptmp);
    tmp=ptmp+h_2*dp1;tt=tt+h_2;x05=0.5*(x(k,:)+x(k+1,:))';
    dp2=-prhs_s(tt,x05,uk(k+1,:) ',tmp);tmp=ptmp+h_2*dp2;
    dp3=-prhs_s(tt,x05,uk(k+1,:) ',tmp);tmp=ptmp+h_2*dp3;tt=tt+h_2;
    dp4=-prhs_s(tt,x(k+1,:) ',uk(k+1,:) ',tmp);
    ptmp=ptmp+h_6*(dp1+dp4)+h_26*(dp2+dp3);
    p(k+1,:)=ptmp';
end
p=flipud(p);
```

Kod dla aproksymacji schodkowej, obliczenie gradientu

```
function g=get_grad_s(tau,u,x0,xf,W,MDNS)
%solve state equation, forward
[t,x,uk,nseg]=get_tx_s(tau,u,x0,MDNS);
%final cond. psi
pf=[-W*(x(end,1:end-1)'-xf);0];
%solve adjoint equation, backward
ps=rk4p_s(pf,t,x,uk);phi_int=ps(:,end);
ng=length(u);g=zeros(ng,1);nseg=[1;nseg];
for k=1:ng
    %derrivative w.r.t. u_k
    g(k)=phi_int(nseg(k))-phi_int(nseg(k+1));
end
```

Kod dla aproksymacji schodkowej, solver *fmincon*

```
clear;close all;
nu=20;tf=1;umax=1;umin=-1;
tau=(tf/nu)*[1:nu]';uopt=zeros(nu,1);
x0=[0;0;0;0];xf=[pi;0;0];W=0*eye(3);MDNS=1e3;
qh=@(uopt) cost_fun_s(uopt,tau,x0,xf,W,MDNS);
nu=length(uopt);LB=-ones(nu,1);UB=ones(nu,1);%ograniczenia
options=optimoptions('fmincon');
options.SpecifyObjectiveGradient=true;
options.Display='iter';options.Algorithm='interior-point';
uopt=fmincon(qh,uopt,[],[],[],[],LB,UB,[],options);
[t,x,uk,nseg]=get_tx_s(tau,uopt,x0,MDNS);
pf=[-W*(x(end,1:end-1)'-xf);0];
p=rk4p_s(pf,t,x,uk);hmax=get_hmax(t,p,x,uk);
subplot(211);h=plot(t,[x(:,1) x(:,2)]/10
    x(:,3)));set(h,'linewidth',2);
subplot(212);h=plot(t,hmax);set(h,'linewidth',2);
hold on;h=stairs(t,uk);set(h,'linewidth',2);
axis([0 t(end) -1.1 1.1]);hold off
```

Sprawdzenie poprawności obliczenia gradientu względem u_i

```
clear;close all;tau=[.2 .3 .4 .5]';u=1.0*[1;-1;1;1];
x0=[0;0;0;0];xf=[pi;0;0];W=1000*eye(3);MDNS=1e3;
ep=1e-9;gnum=zeros(length(u),1);
[q,g]=cost_fun_s(u,tau,x0,xf,W,MDNS);
for k=1:length(tau)
    ei=zeros(length(u),1);ei(k)=1;
    up=u+ei*ep;um=u-ei*ep;
    fp=cost_fun_s(up,tau,x0,xf,W,MDNS);
    fm=cost_fun_s(um,tau,x0,xf,W,MDNS);
    gnum(k)=(fp-fm)/(2*ep);
end
%porownanie g - r. sprz., gnum - rozn.
[g';gnum']
```

Posługując się opisaną powyżej metodyką, można konstruować inne, adekwatne dla danego zadania, aproksymacje sterowania optymalnego. W szczególności, można jednocześnie optymalizować zarówno wartości sterowania, jak i czasy przełączeń oraz czas końcowy. Możliwe jest też zastosowanie aproksymacji za pomocą łamanej (funkcją przedziałami liniową) oraz rozszerzenie na zdania z większą liczbą sterowań.